

図 3.4.77 春季における地衡流東西成分 ( $U$ ) の東西断面分布 ( $50^{\circ}\text{N}$ )

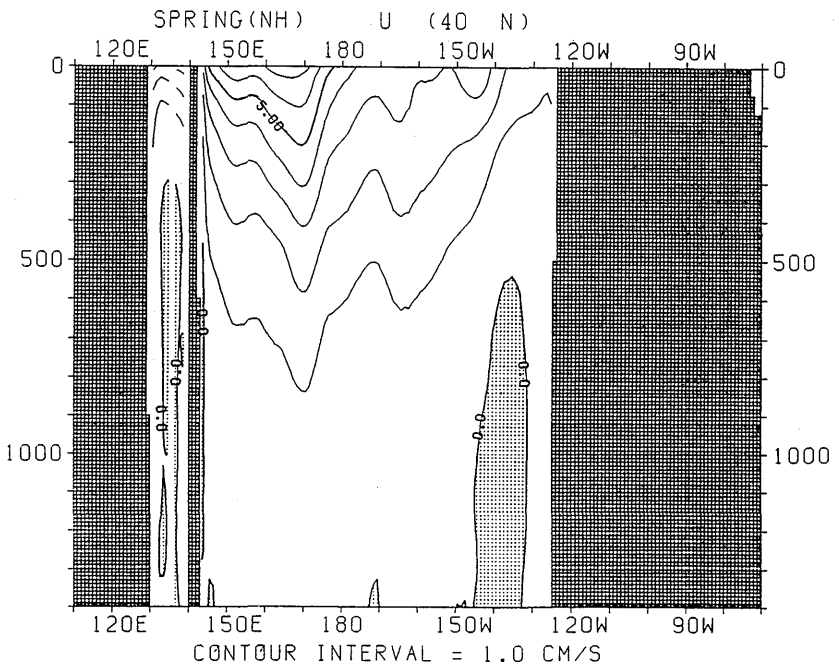


図 3.4.78 春季における地衡流東西成分 ( $U$ ) の東西断面分布 ( $40^{\circ}\text{N}$ )

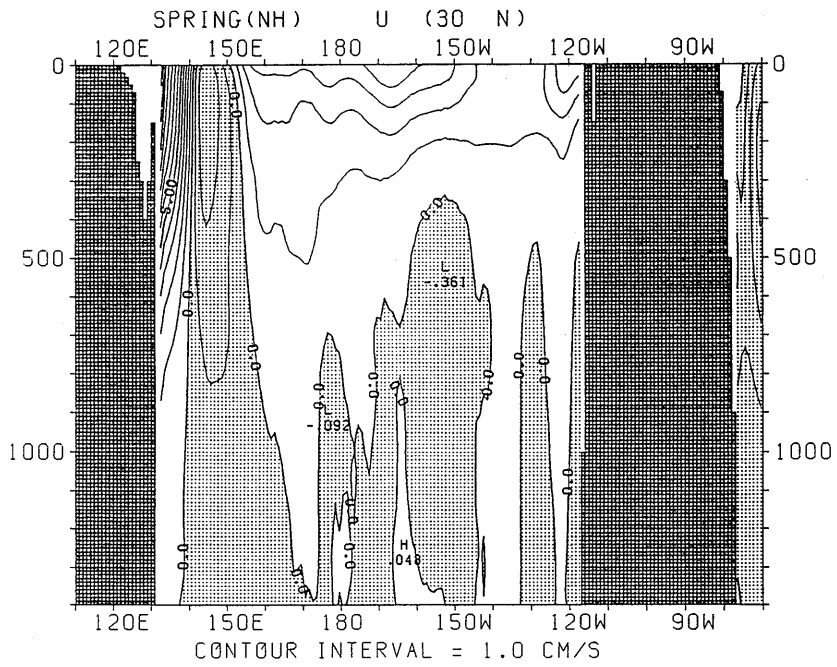


図 3.4.79 春季における地衡流東西成分 ( $U$ ) の東西断面分布 ( $30^\circ\text{N}$ )

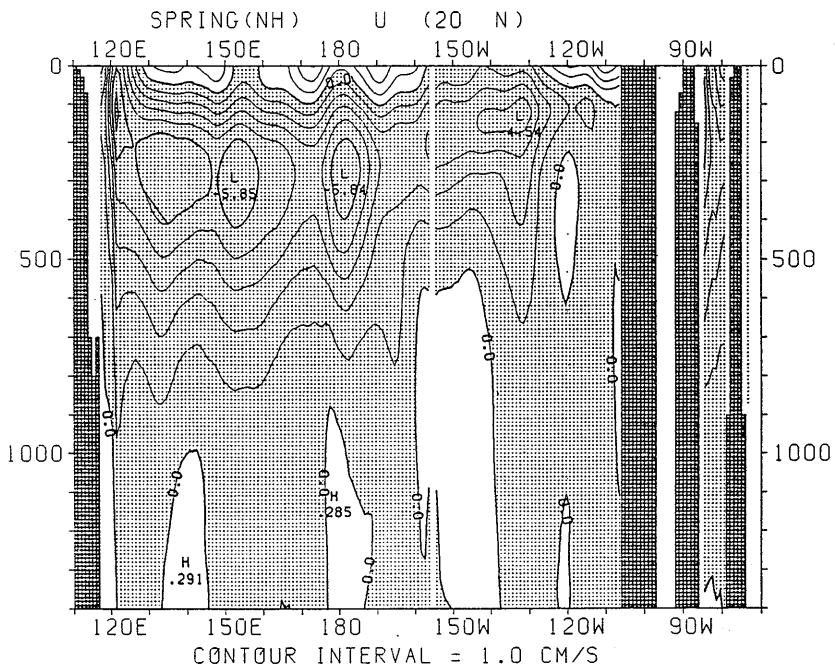


図 3.4.80 春季における地衡流東西成分 ( $U$ ) の東西断面分布 ( $20^\circ\text{N}$ )

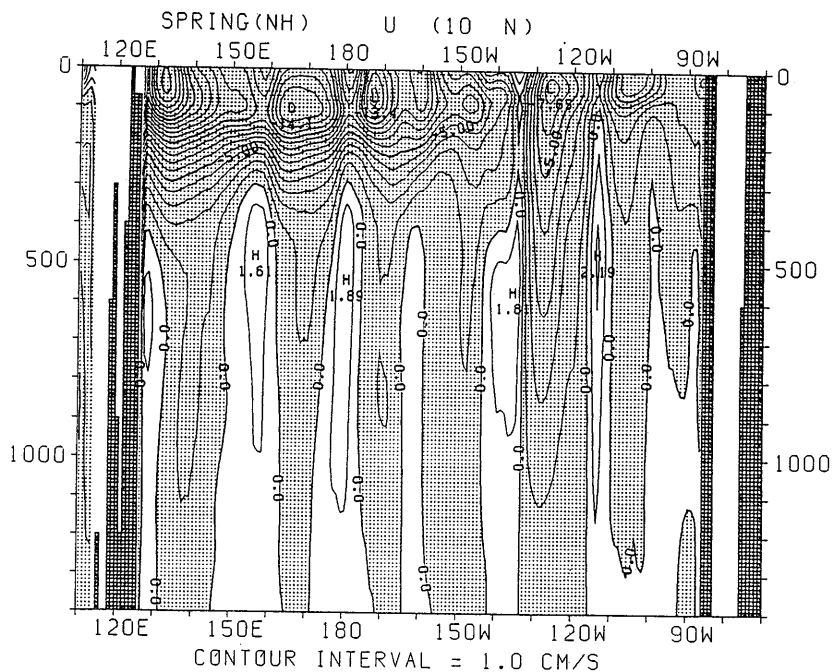


図 3.4.81 春季における地衡流東西成分 (U) の東西断面分布 (10°N)

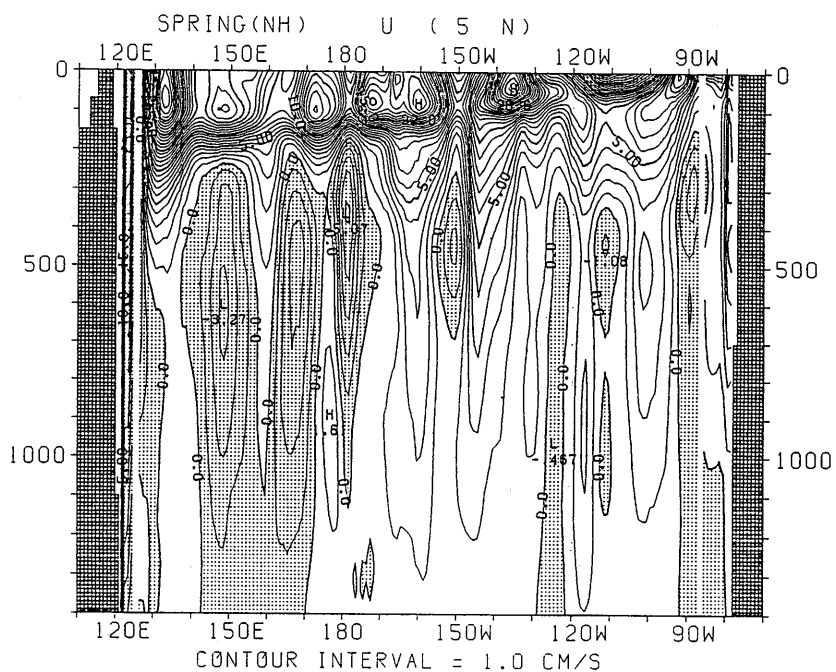


図 3.4.82 春季における地衡流東西成分 (U) の東西断面分布 (5°N)

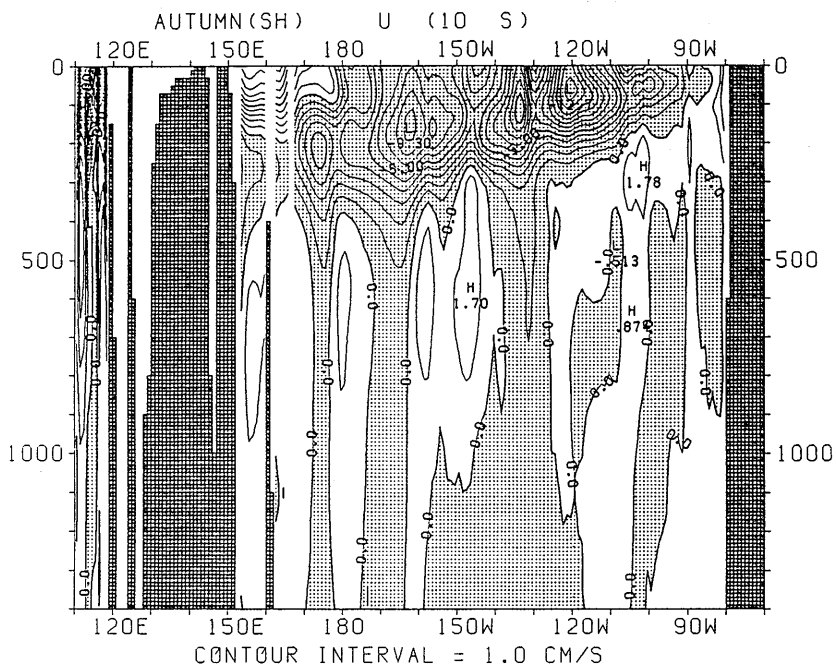


図 3.4.83 秋季 (南半球) における地衡流東西成分 ( $U$ ) の東西断面分布 ( $10^{\circ}\text{S}$ )

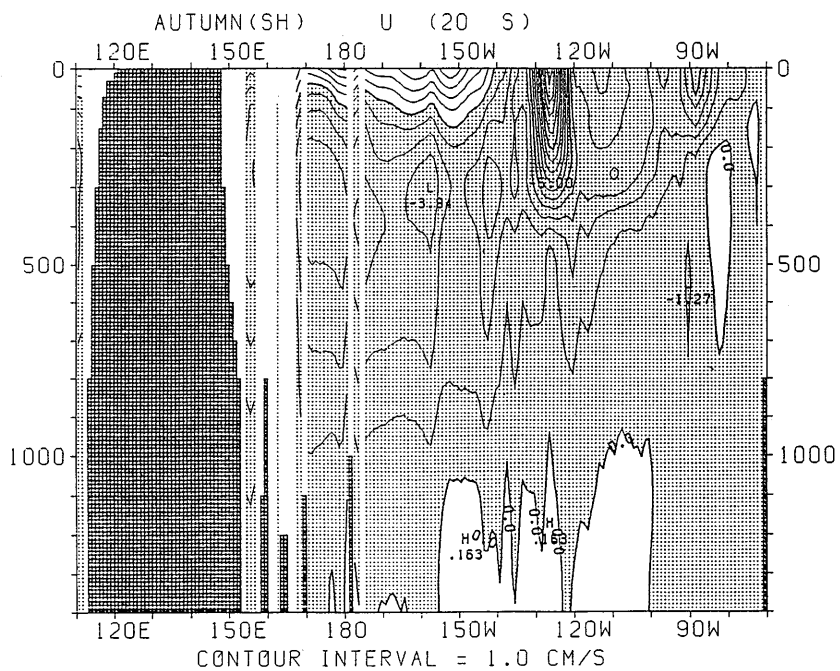


図 3.4.84 秋季 (南半球) における地衡流東西成分 ( $U$ ) の東西断面分布 ( $20^{\circ}\text{S}$ )

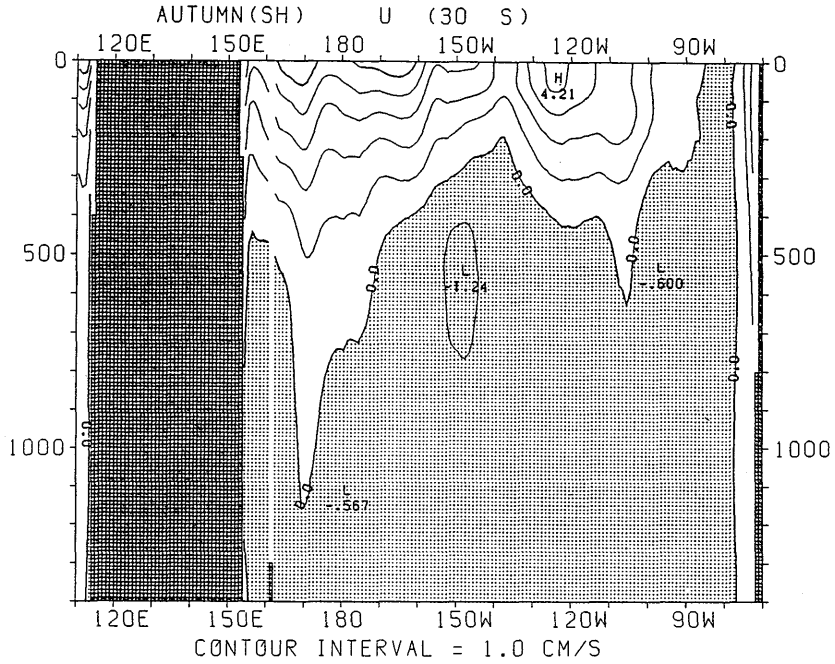


図 3.4.85 秋季 (南半球) における地衡流東西成分 (U) の東西断面分布 (30°S)

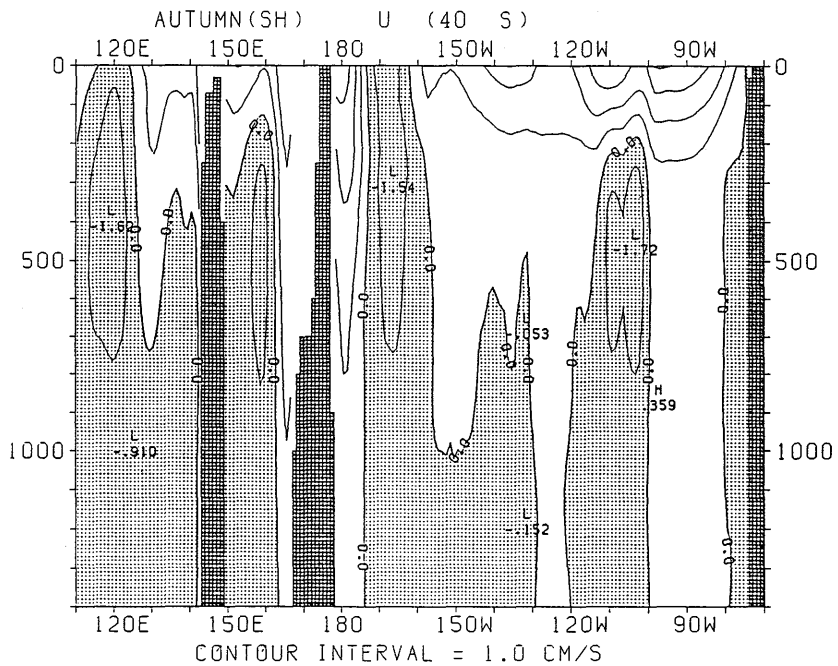


図 3.4.86 秋季 (南半球) における地衡流東西成分 (U) の東西断面分布 (40°S)

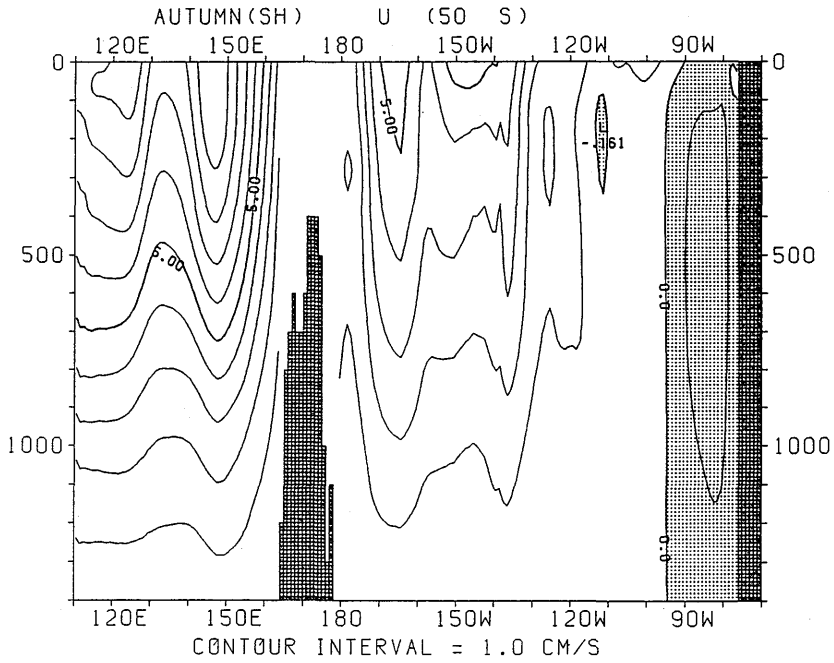


図 3.4.87 秋季 (南半球) における地衡流東西成分 ( $U$ ) の東西断面分布 ( $50^{\circ}\text{S}$ )

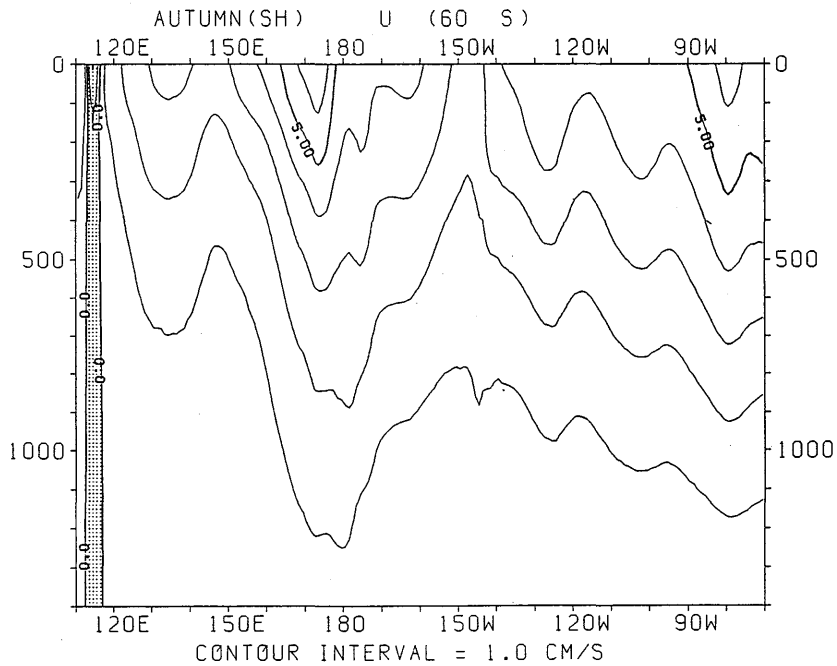


図 3.4.88 秋季 (南半球) における地衡流東西成分 ( $U$ ) の東西断面分布 ( $60^{\circ}\text{S}$ )